

図 20～21 ショウキョウ(Positive) r.t. 25.6 min の MS, m/z 470 の MS/MS

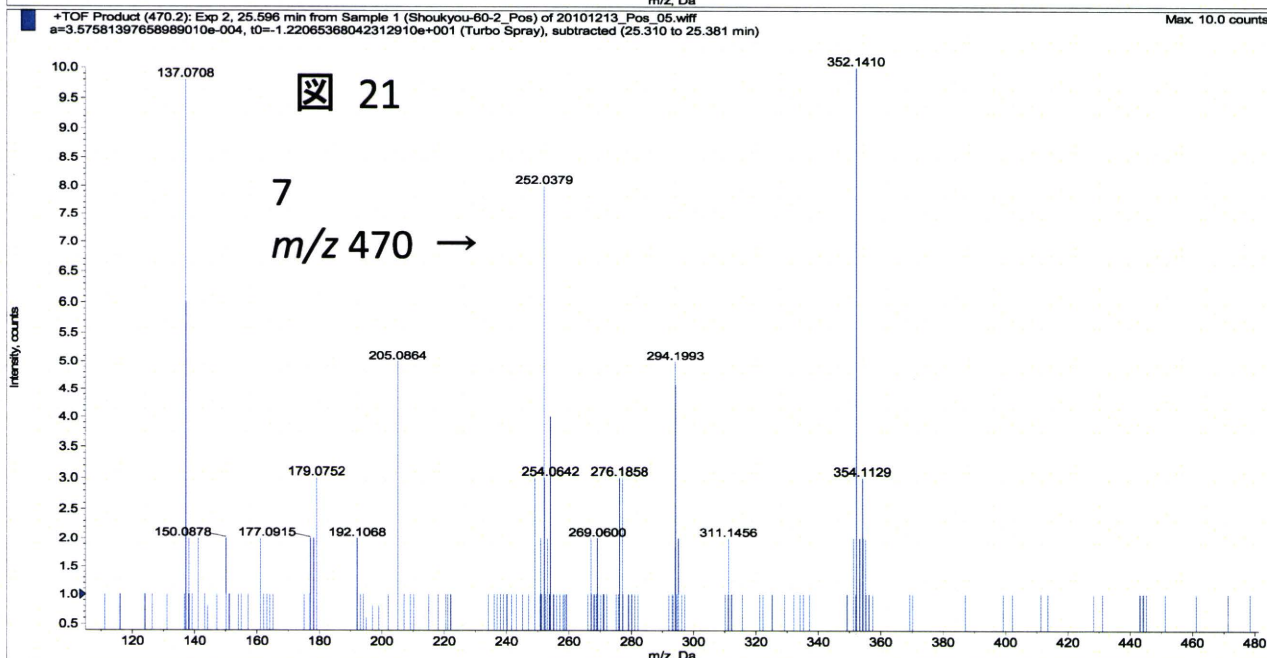
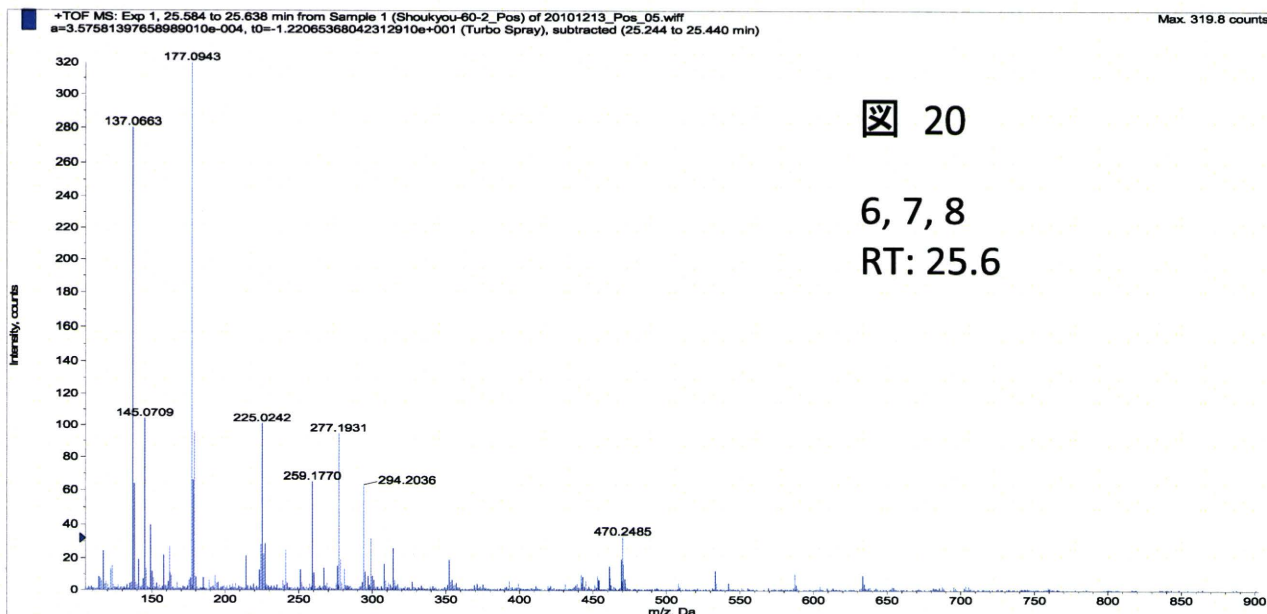


図 22～24 ショウキョウ(Positive) m/z 291 の抽出イオンクロマトおよび MS, MS/MS

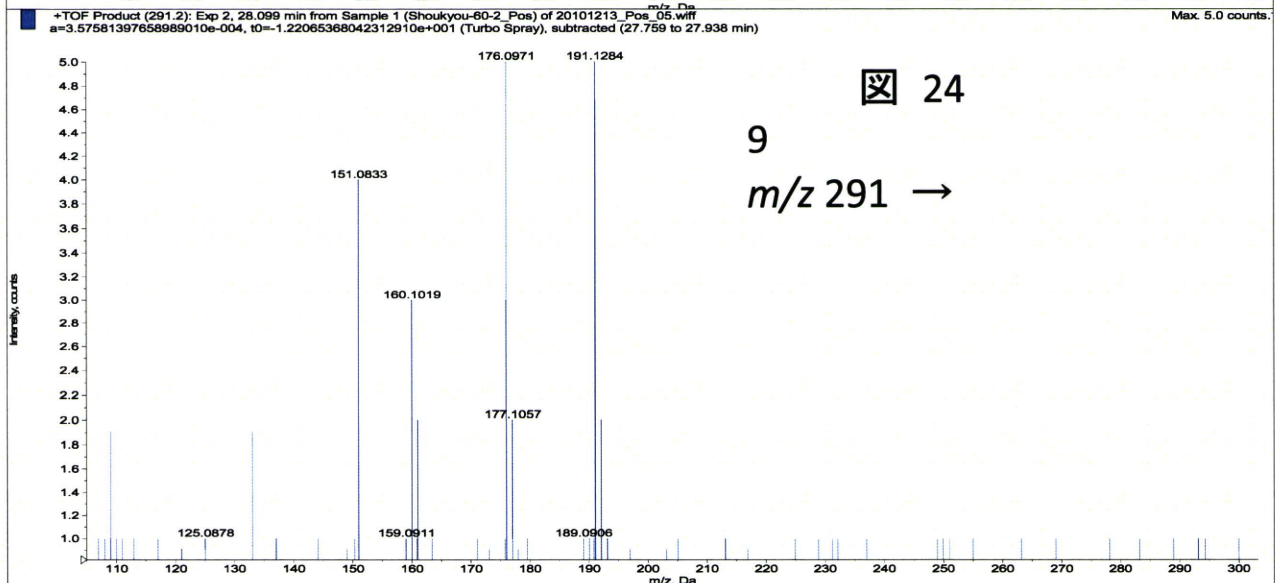
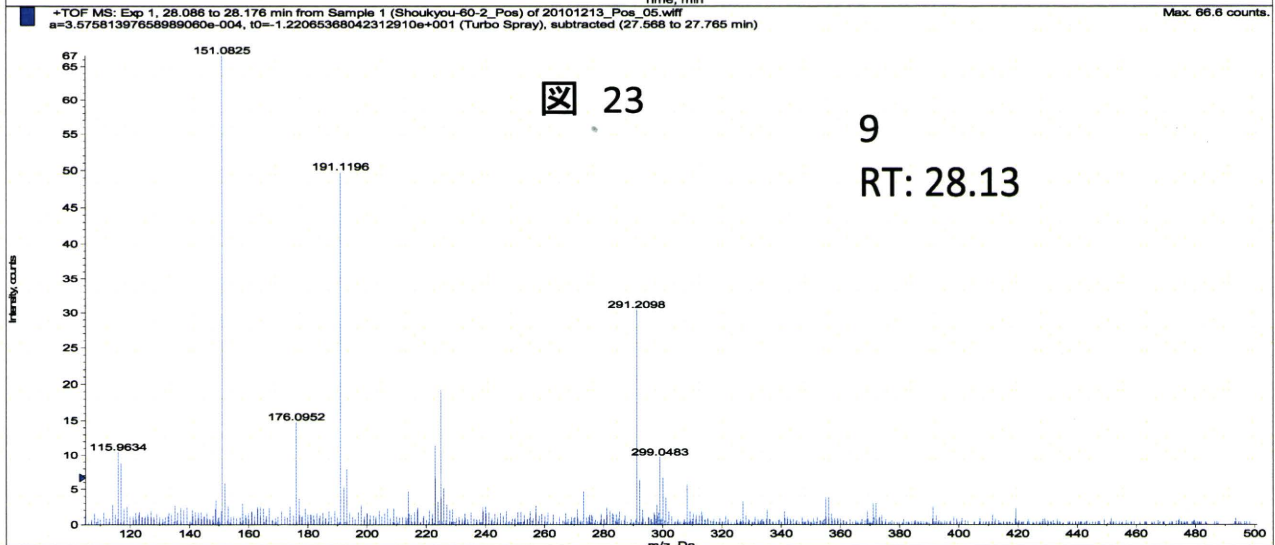
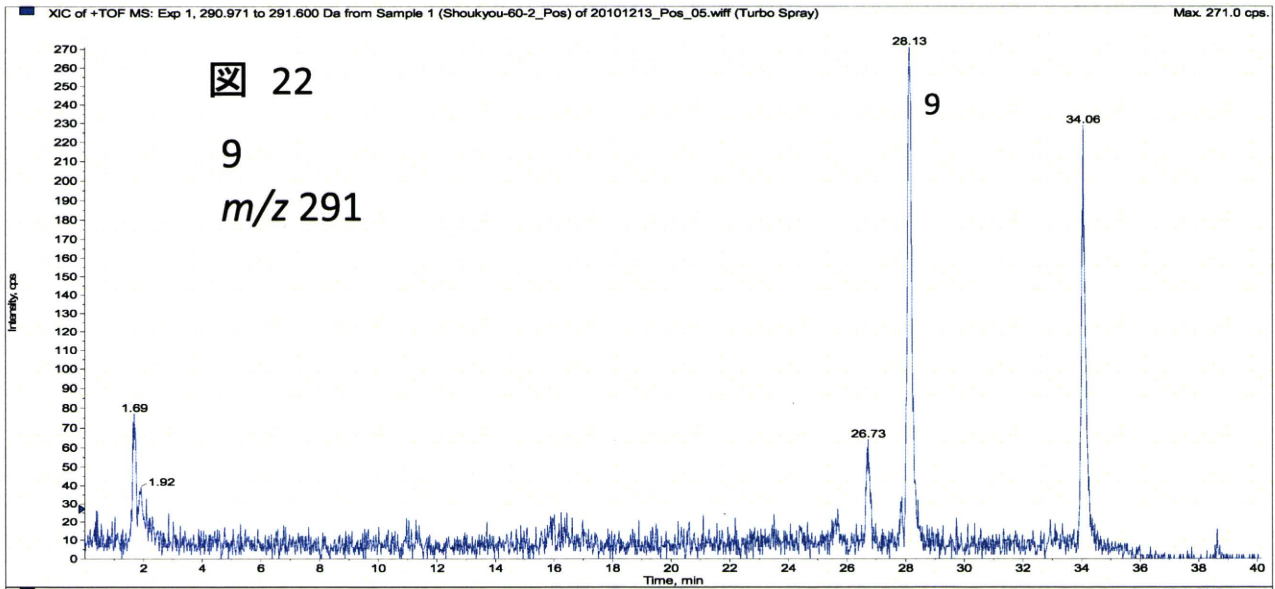


図 25～27 ショウキョウ(Positive)  $m/z$  170 の抽出イオンクロマトおよび MS, MS/MS

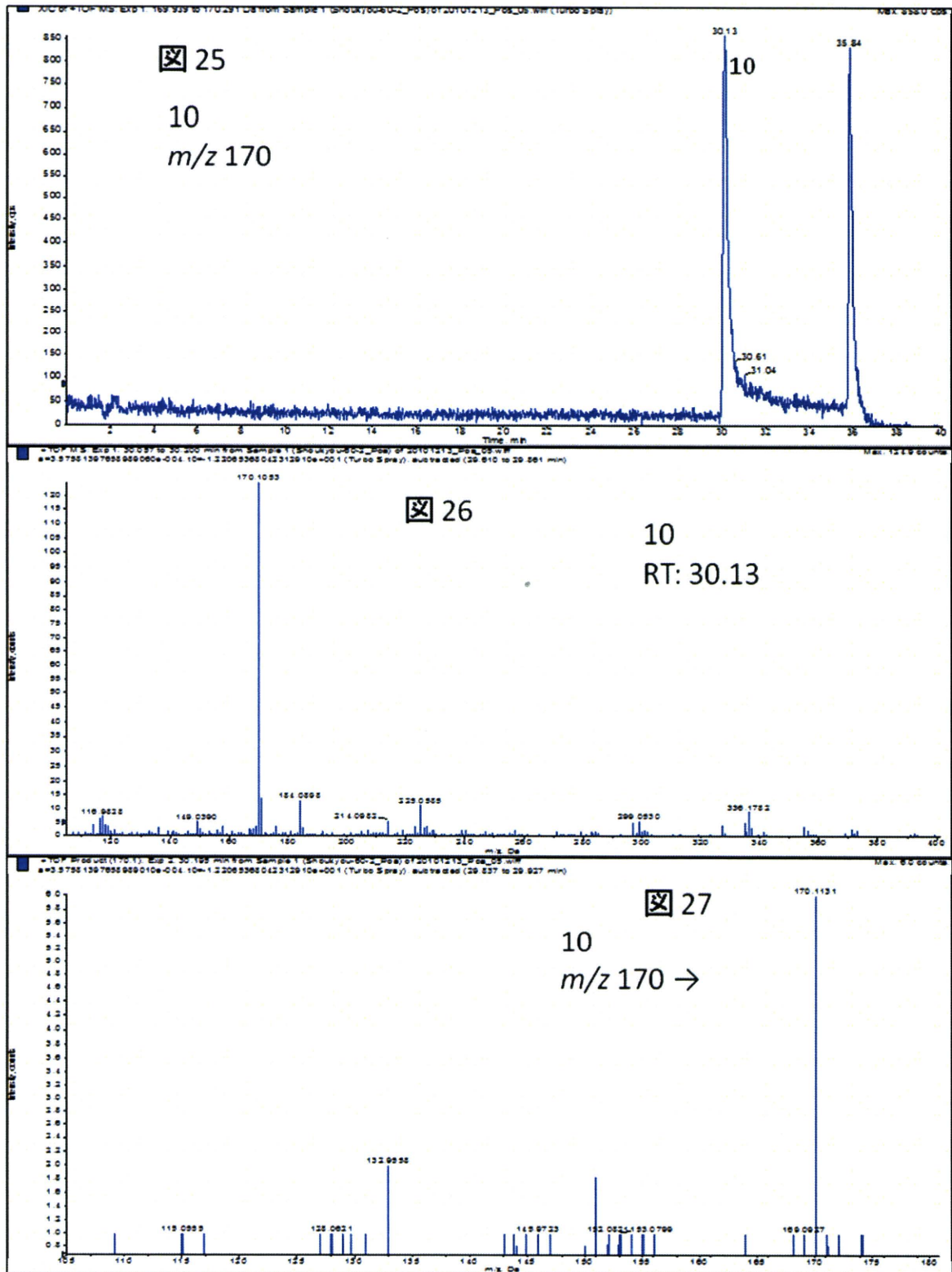


図 28～30 ショウキョウ(Positive) m/z 305 の抽出イオンクロマトおよび MS, MS/MS

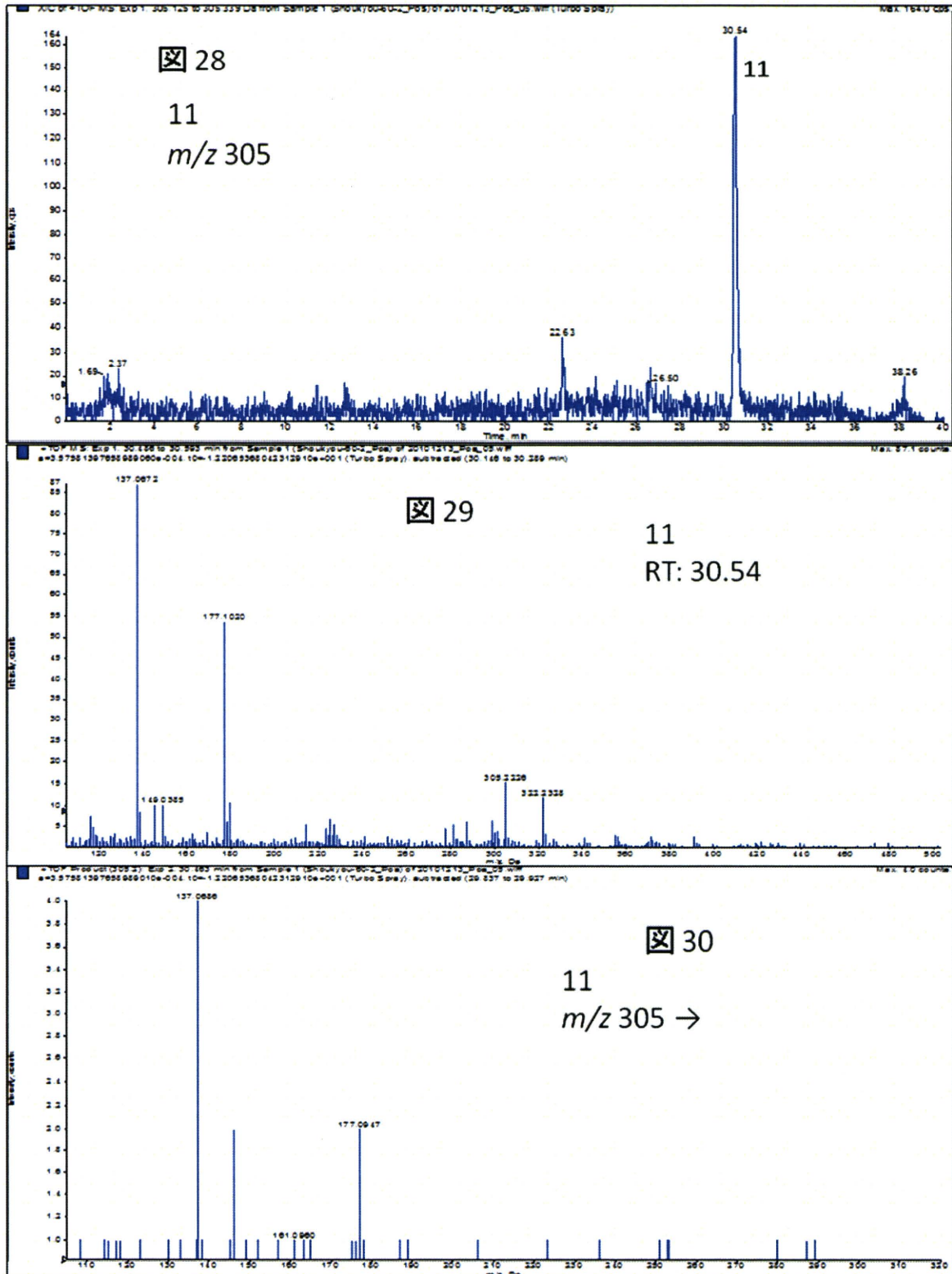


図 3 1 ~ 3 2 ショウキョウ(Positive) m/z 137 の抽出イオンクロマトおよびMS

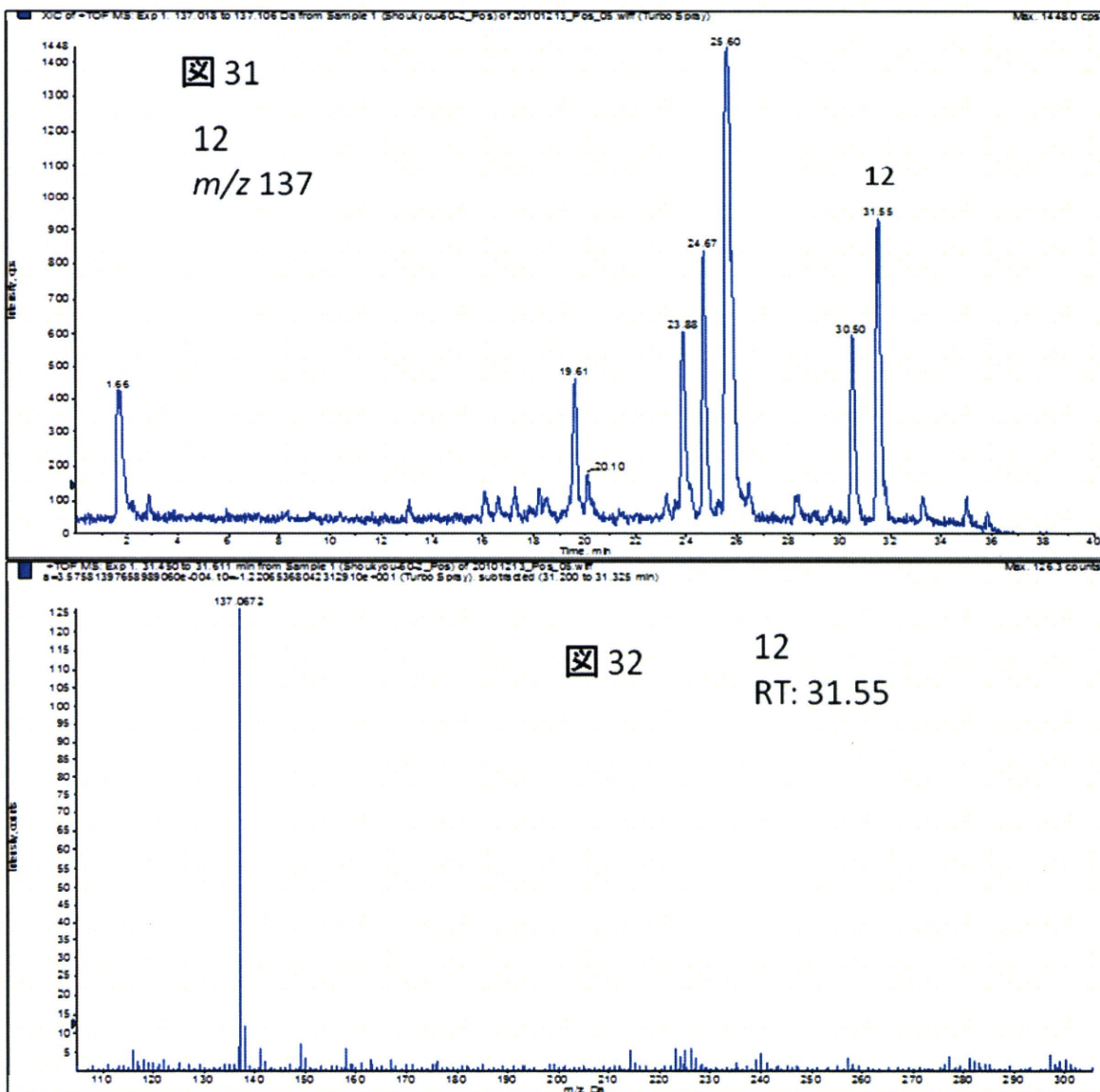
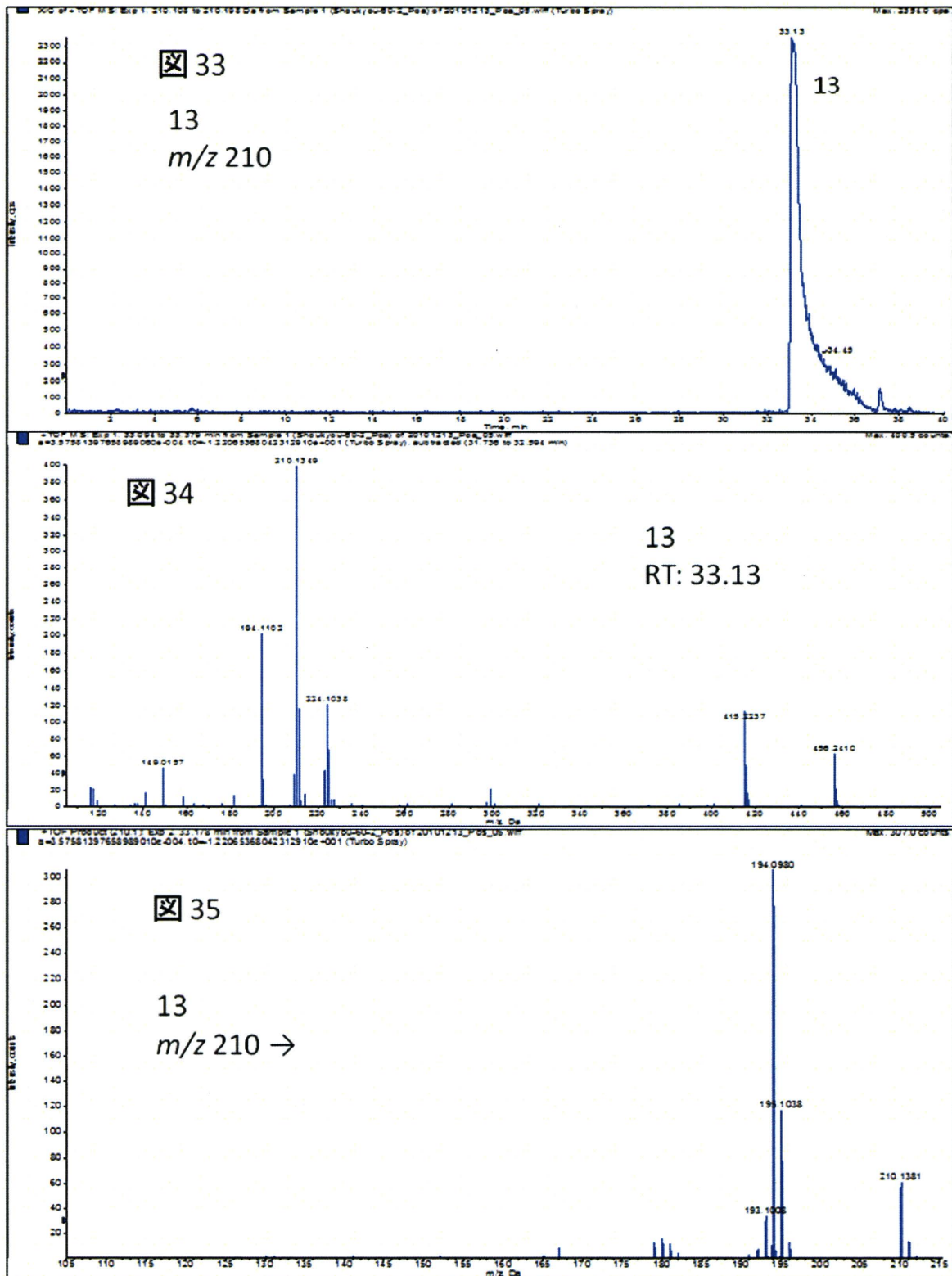


図 3 3 ~ 3 5 ショウキョウ(Positive)  $m/z$  210 の抽出イオンクロマトおよび MS, MS/MS



シヨウキョウ LCMS (Negative mode)

図3～5 シヨウキョウ(Negative)  $m/z$  383, 379の抽出イオンクロマトおよび r.t.5.9 minのMS

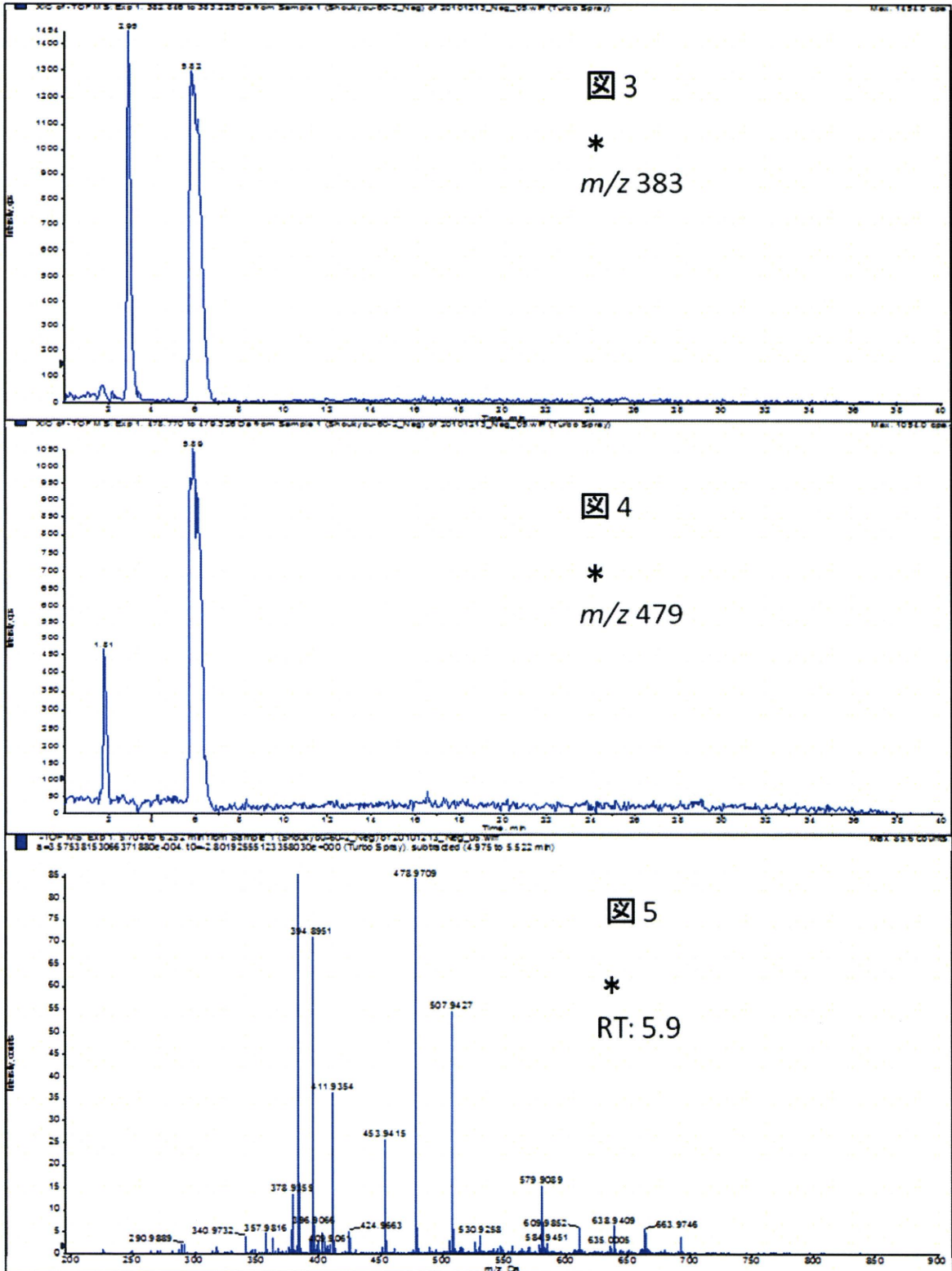


図6～8 ショウキョウ(Negative) m/z 383 図6～8 ショウキョウ(Negative) m/z 383、398、  
507のMS/MS

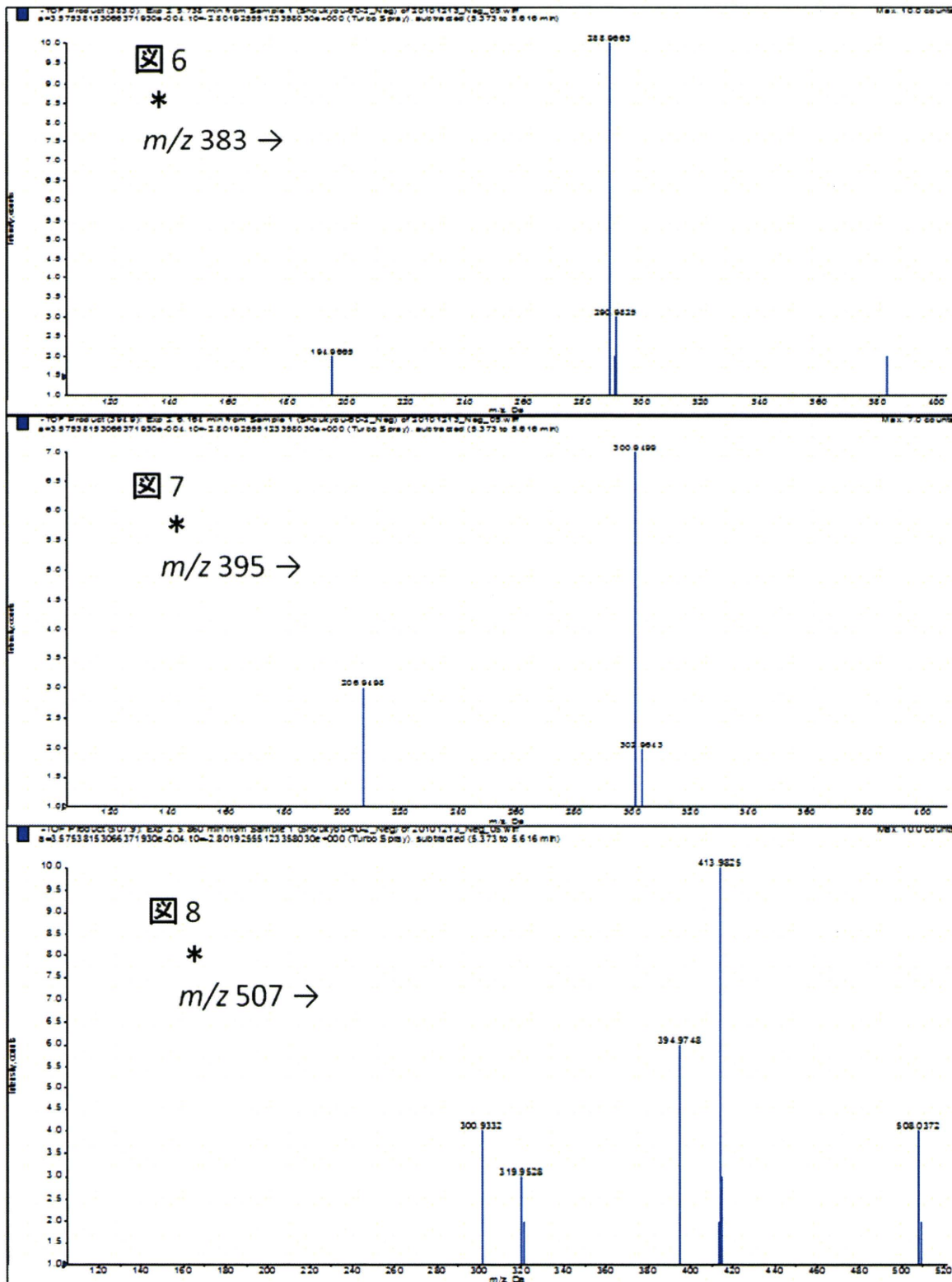




図9～11 ショウキョウ(Negative) m/z 572 の抽出イオンクロマトおよびMS, MS/MS

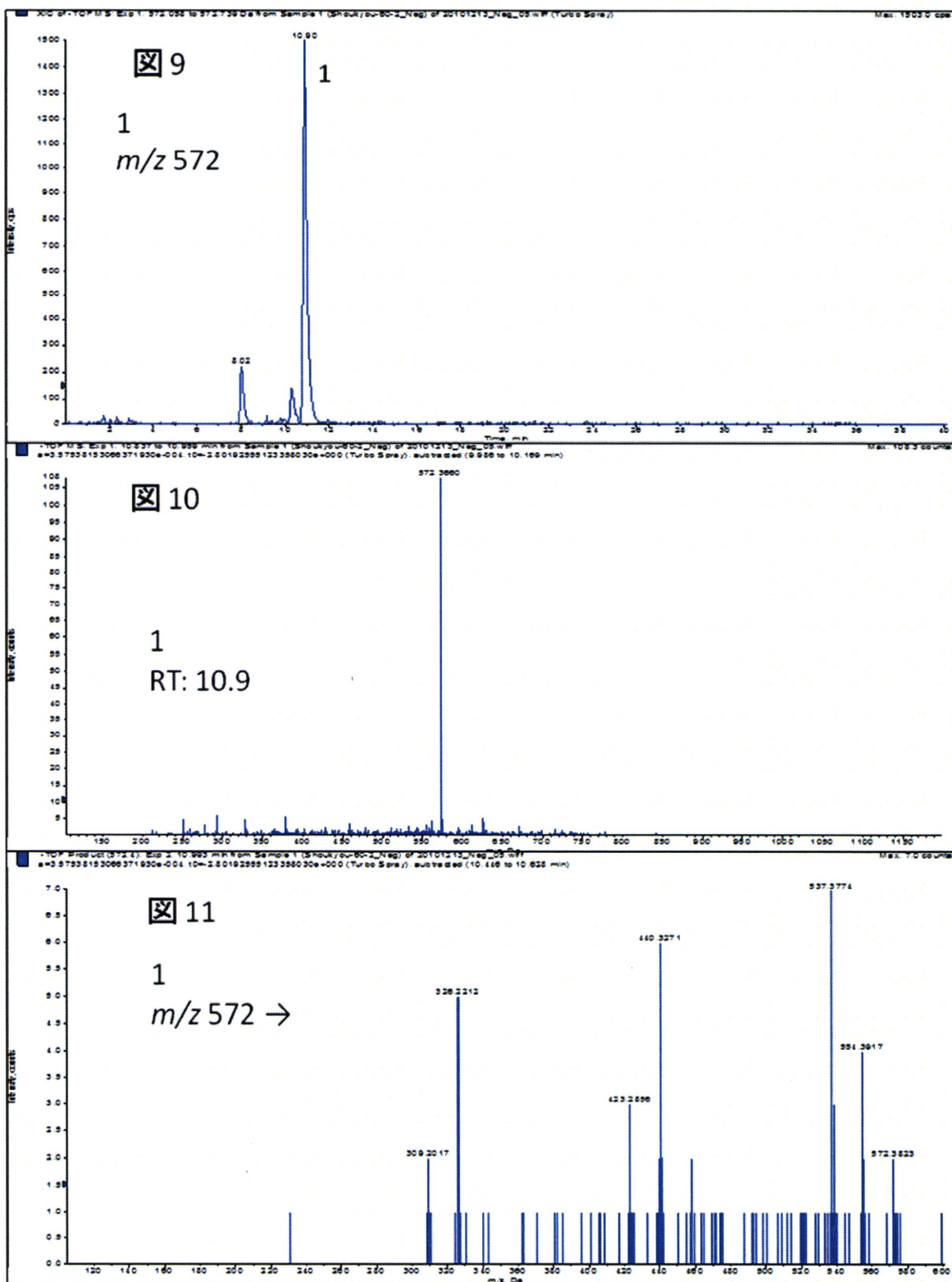


図 12~13 ショウキョウ(Negative) m/z 389 の抽出イオンクロマトおよびMS

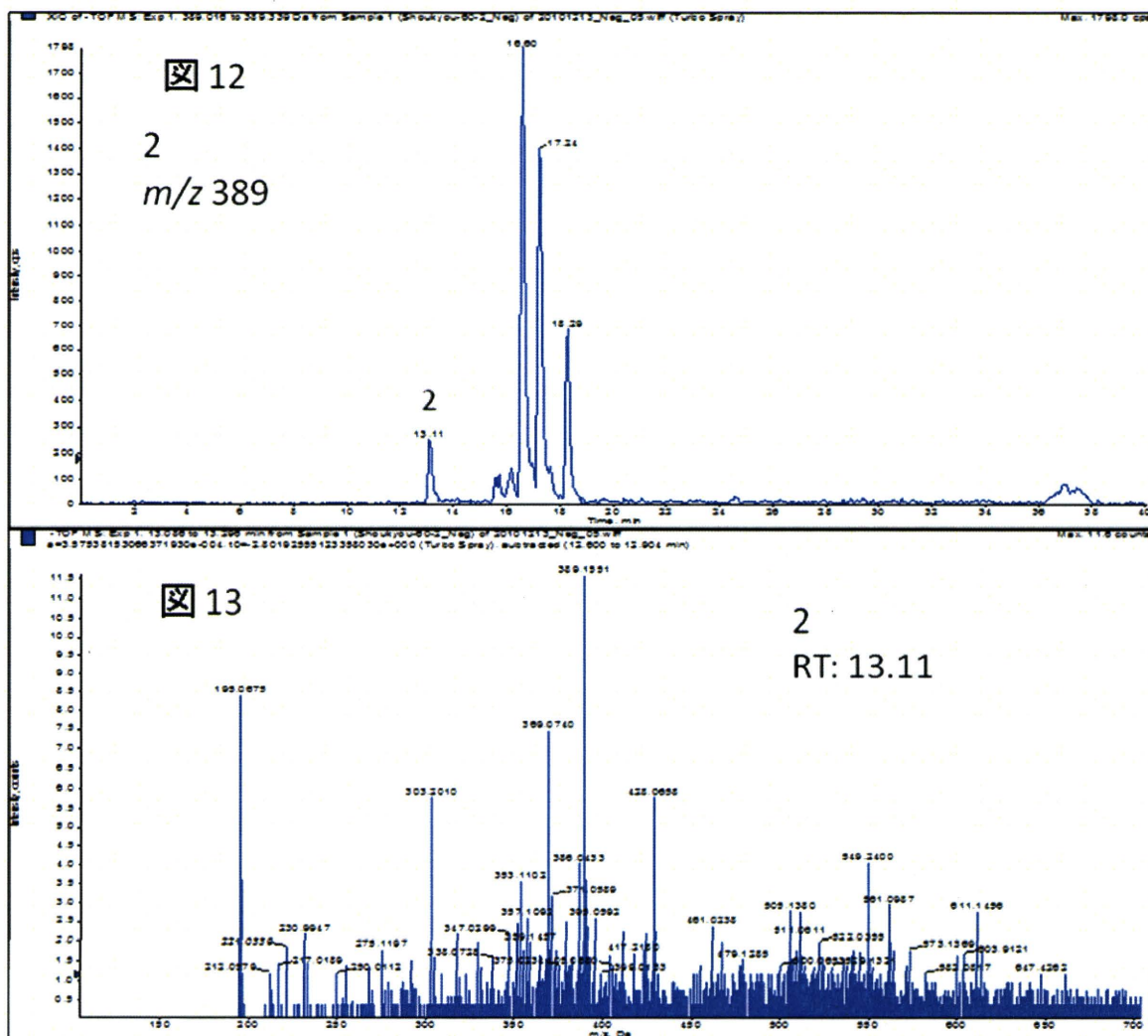


図 14~15 ショウキョウ(Negative) m/z 475 の抽出イオンクロマトおよびMS

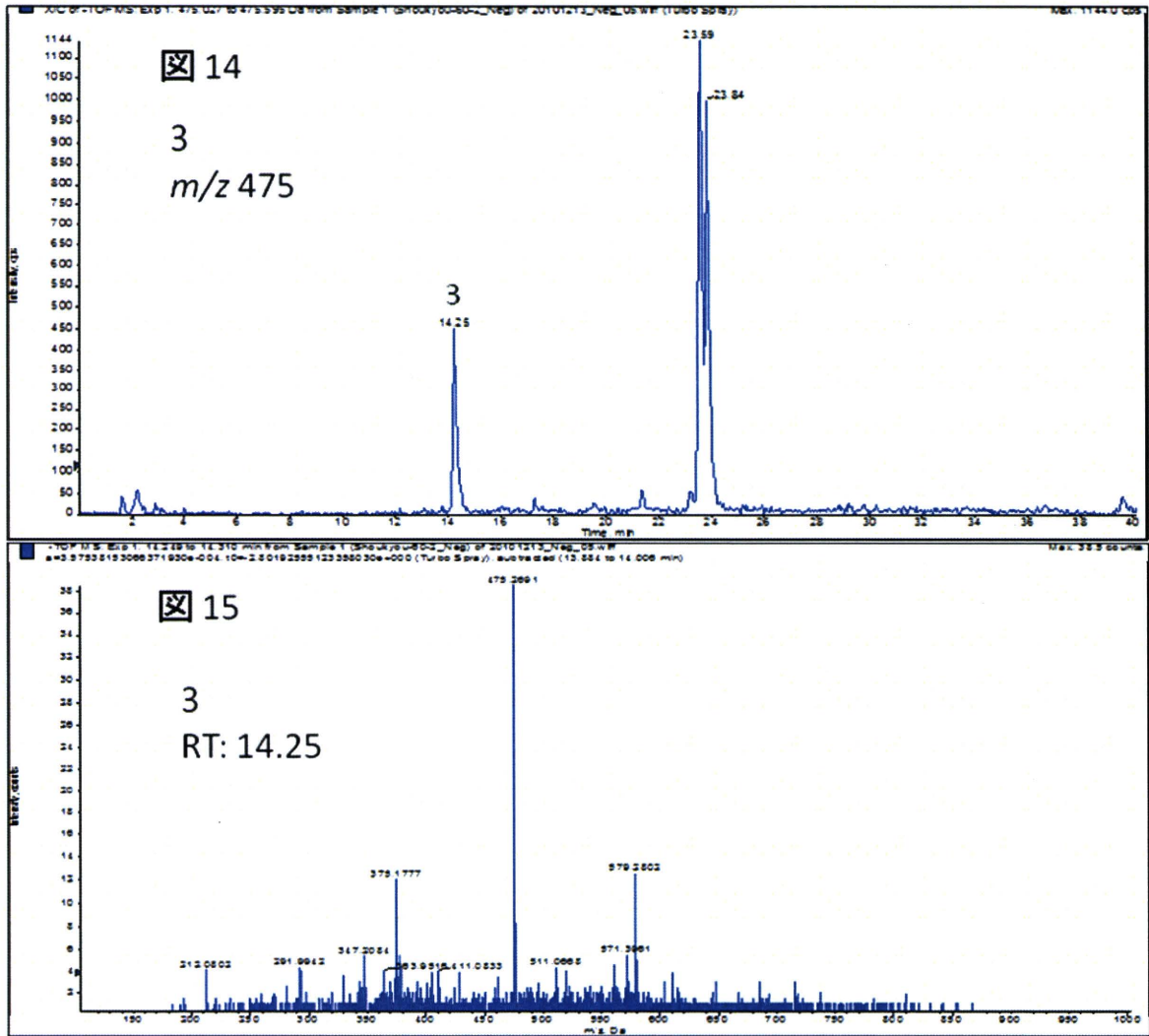


図16～18 ショウキョウ(Negative)  $m/z$  233, 391 の抽出イオンクロマトおよびMS

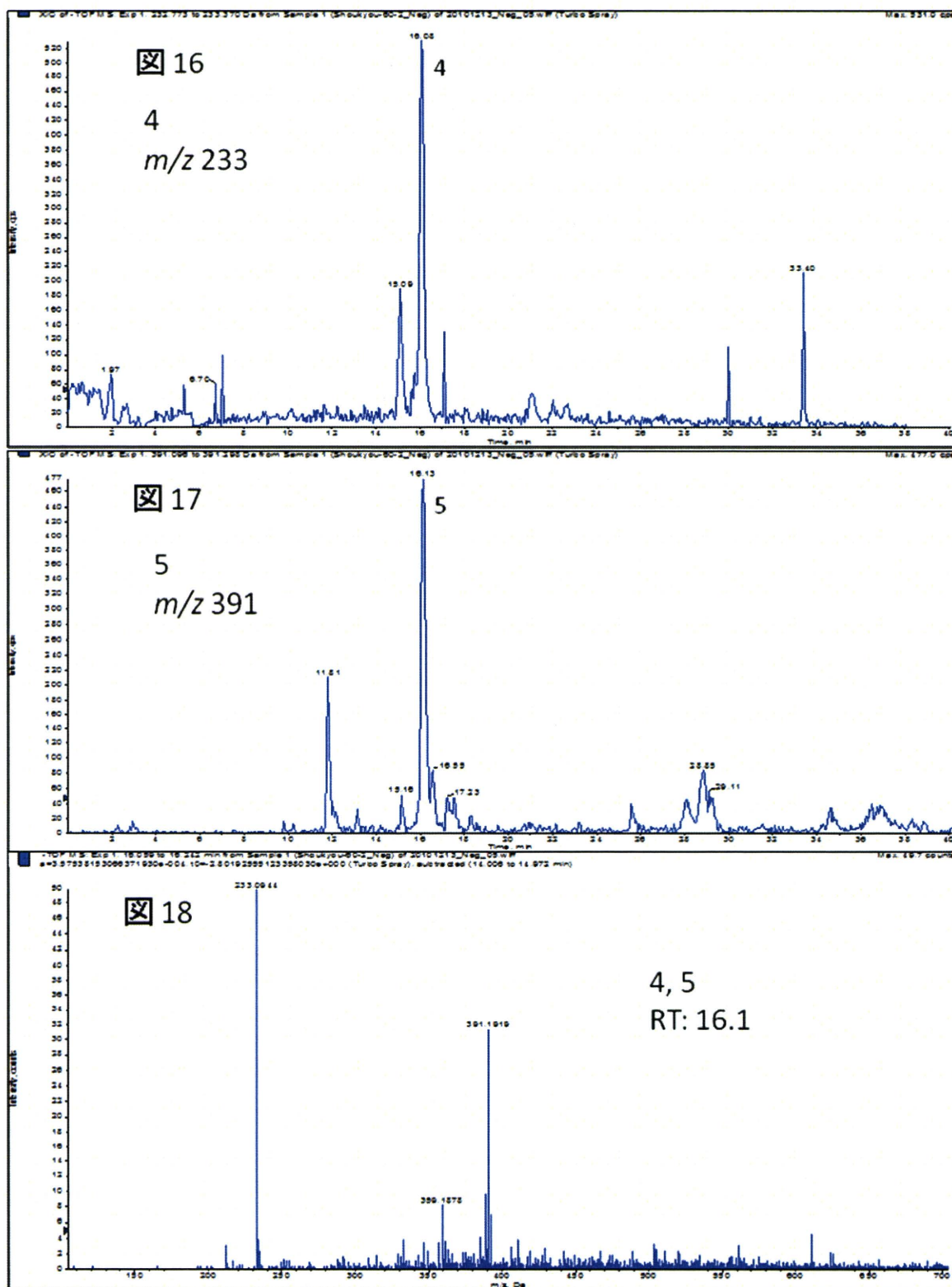


図 19～20 ショウキョウ(Negative)  $m/z$ 389 の抽出イオンクロマトおよび MS

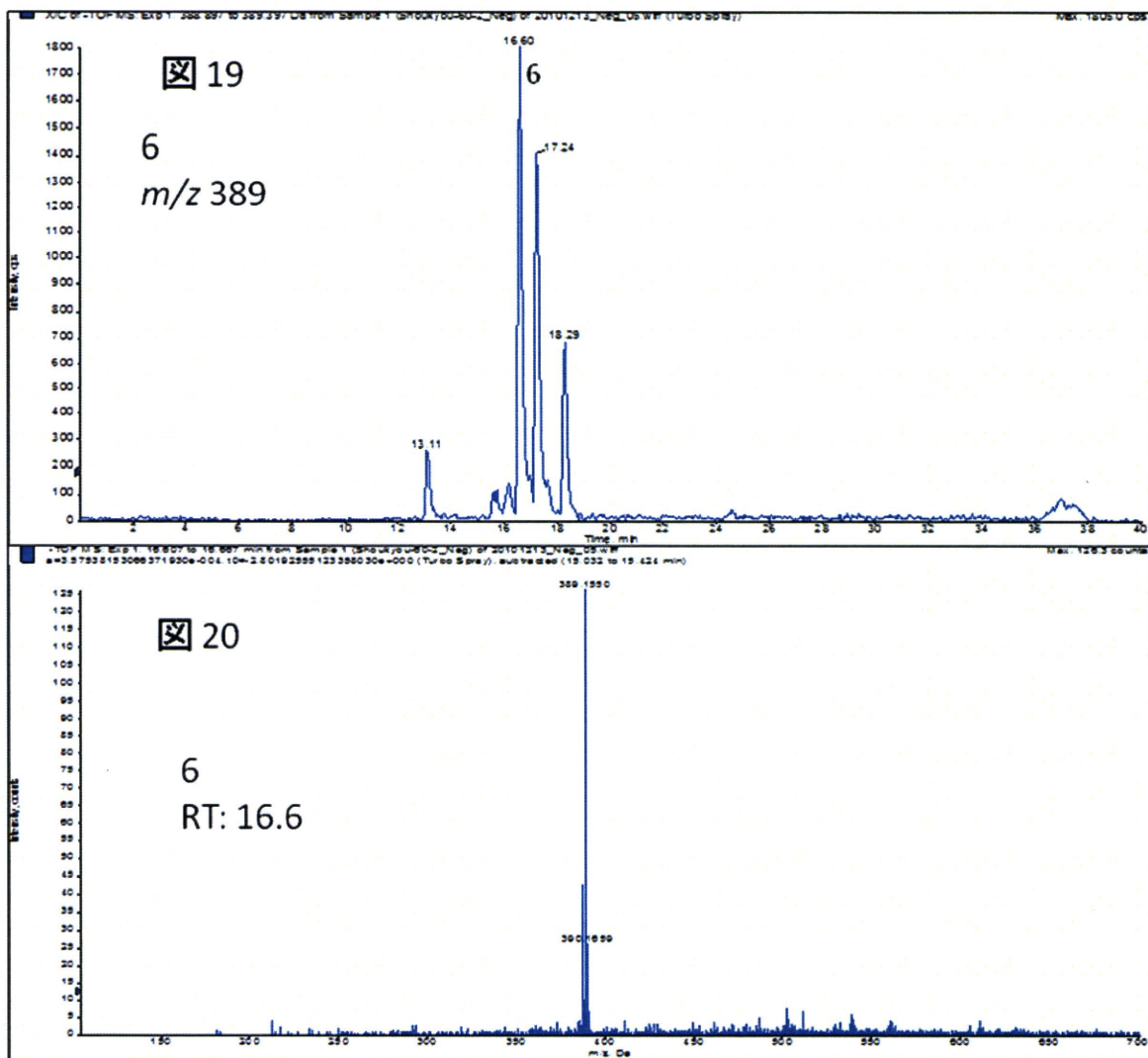


図 2 1 ~ 2 2  $m/z$ 389 の抽出イオンクロマトおよび MS

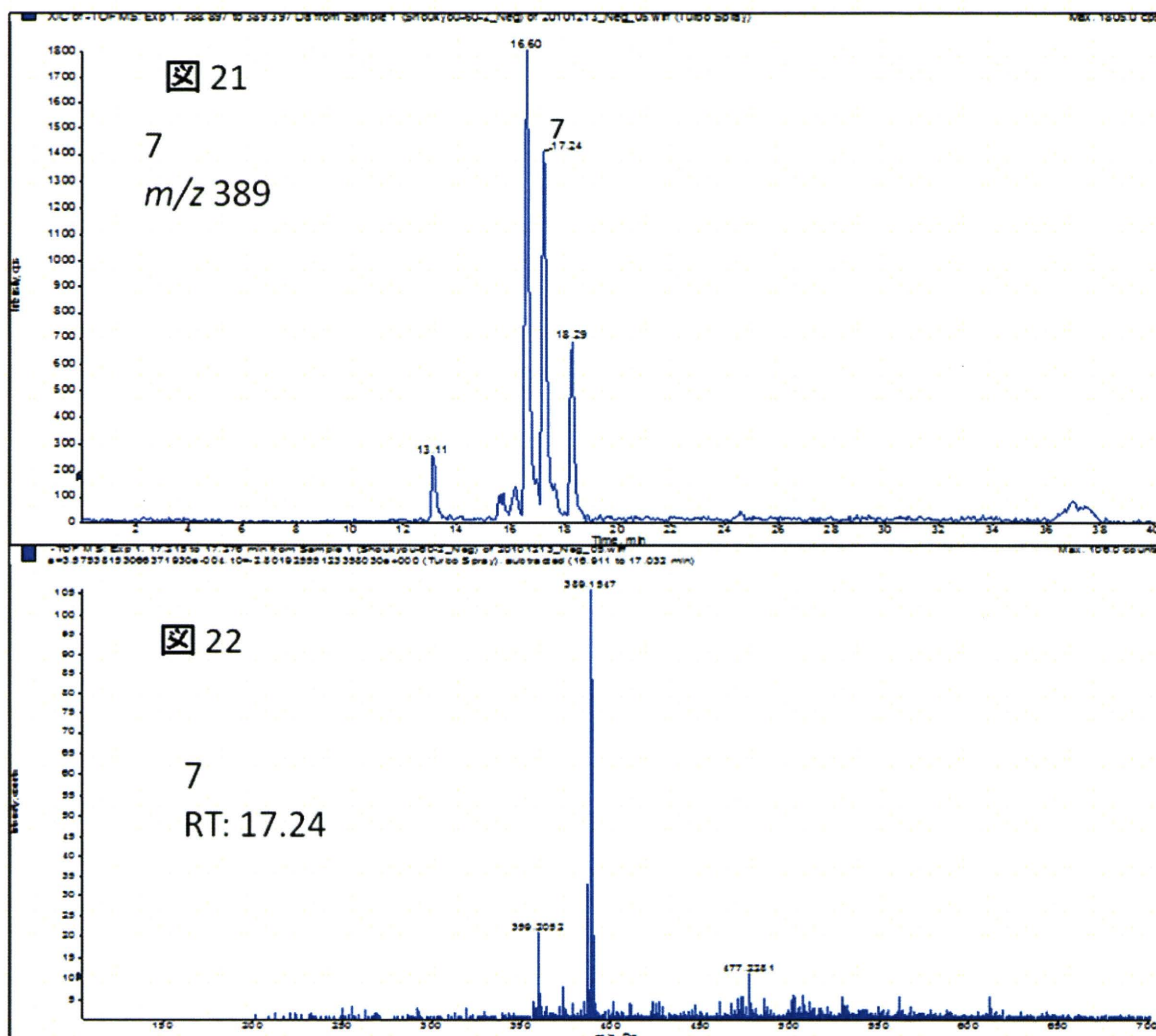


図 2 3～2 4 ショウキョウ(Negative)  $m/z$  375 の抽出イオンクロマトおよび MS

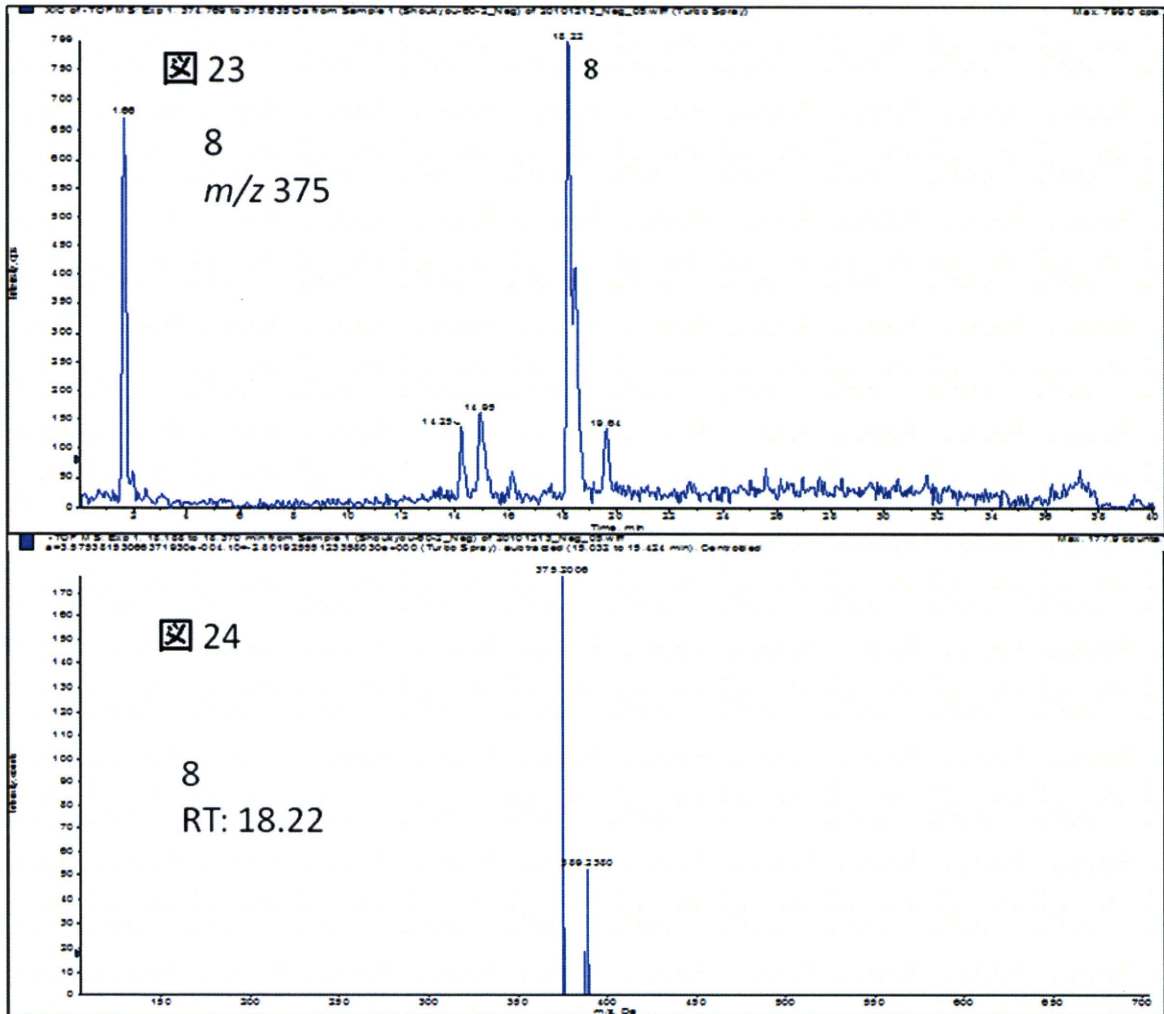


図 25～27 ショウキョウ(Negative)  $m/z$  389 の抽出イオンクロマトおよび MS、MSMS

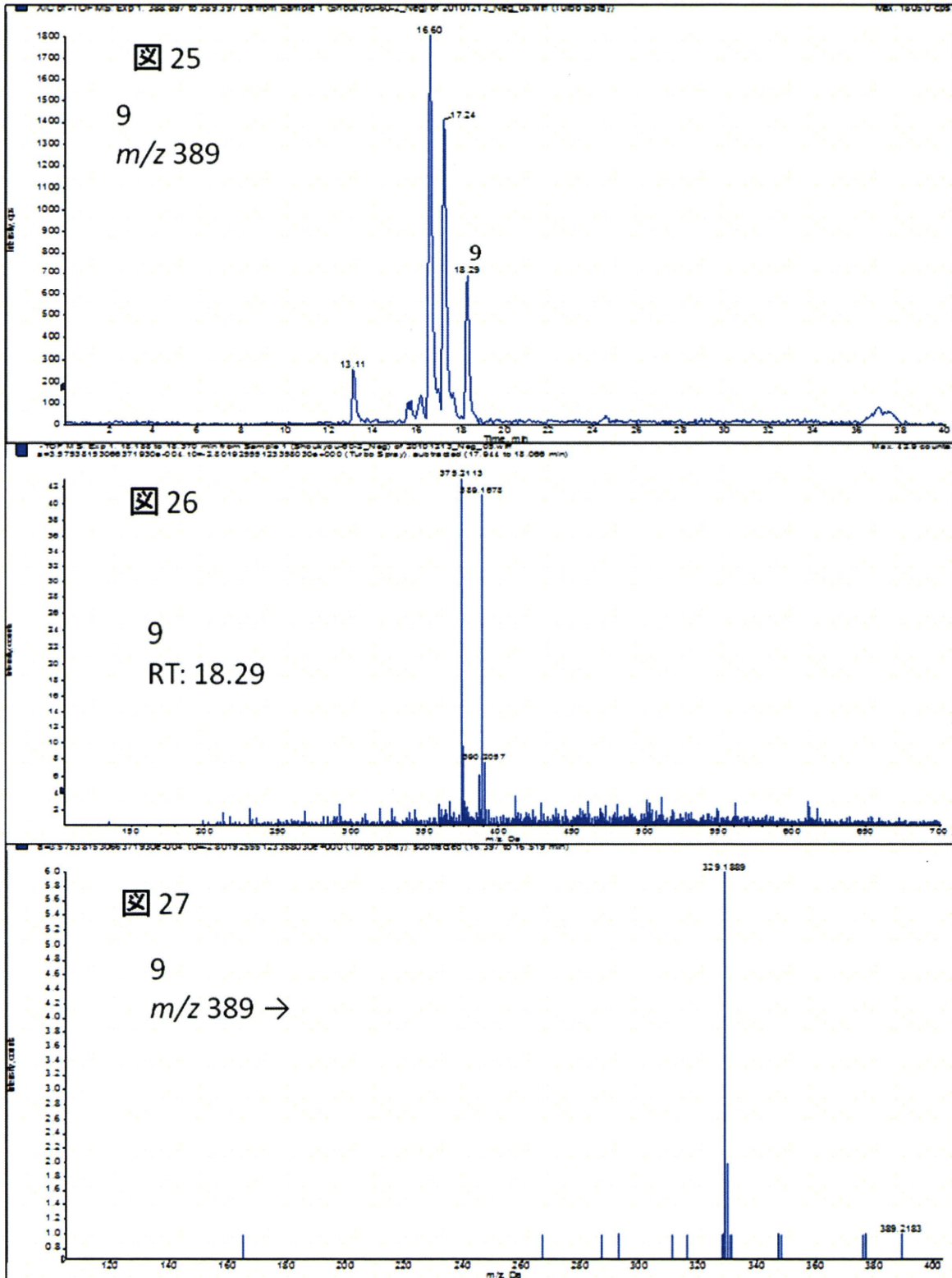




図 28～29 ショウキヨウ(Negative) m/z 373 の抽出イオンクロマトおよびMS

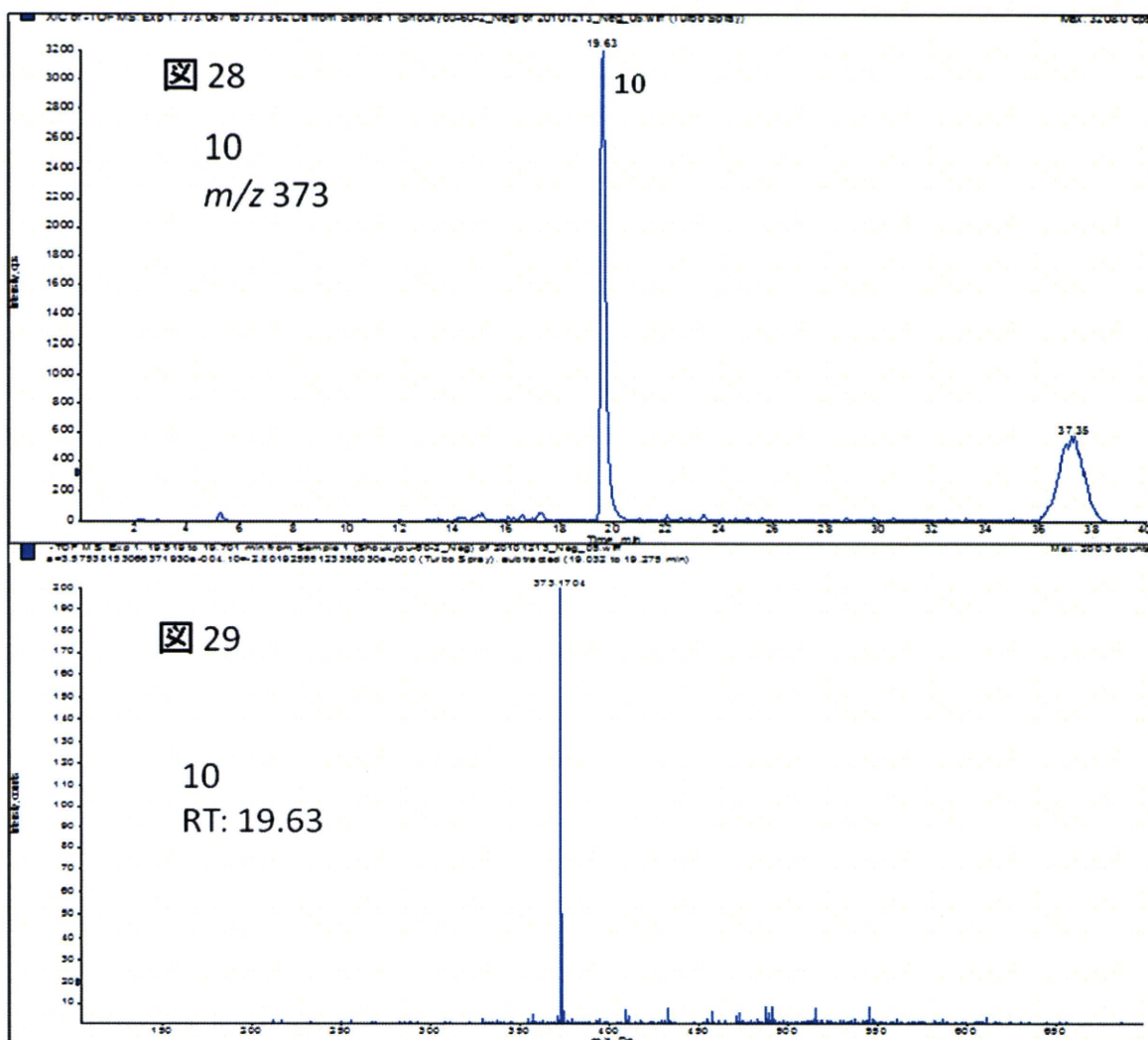


図 30～32 ショウキョウ(Negative)  $m/z$  431 の抽出イオンクロマトおよび MS, MS/MS

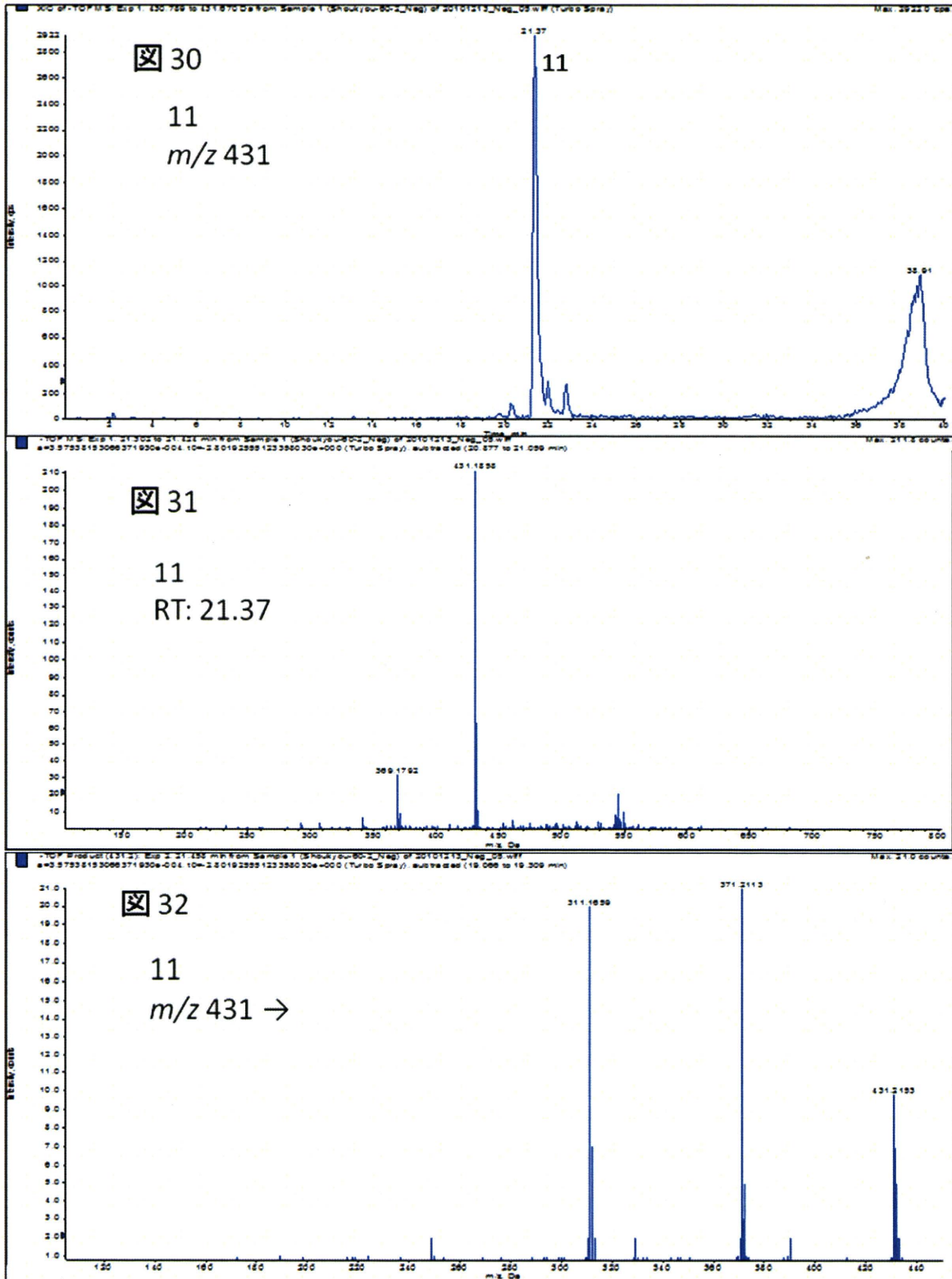


図 3 3 ~ 3 5 ショウキョウ(Negative)  $m/z$  475 の抽出イオンクロマトおよび MS, MS/MS

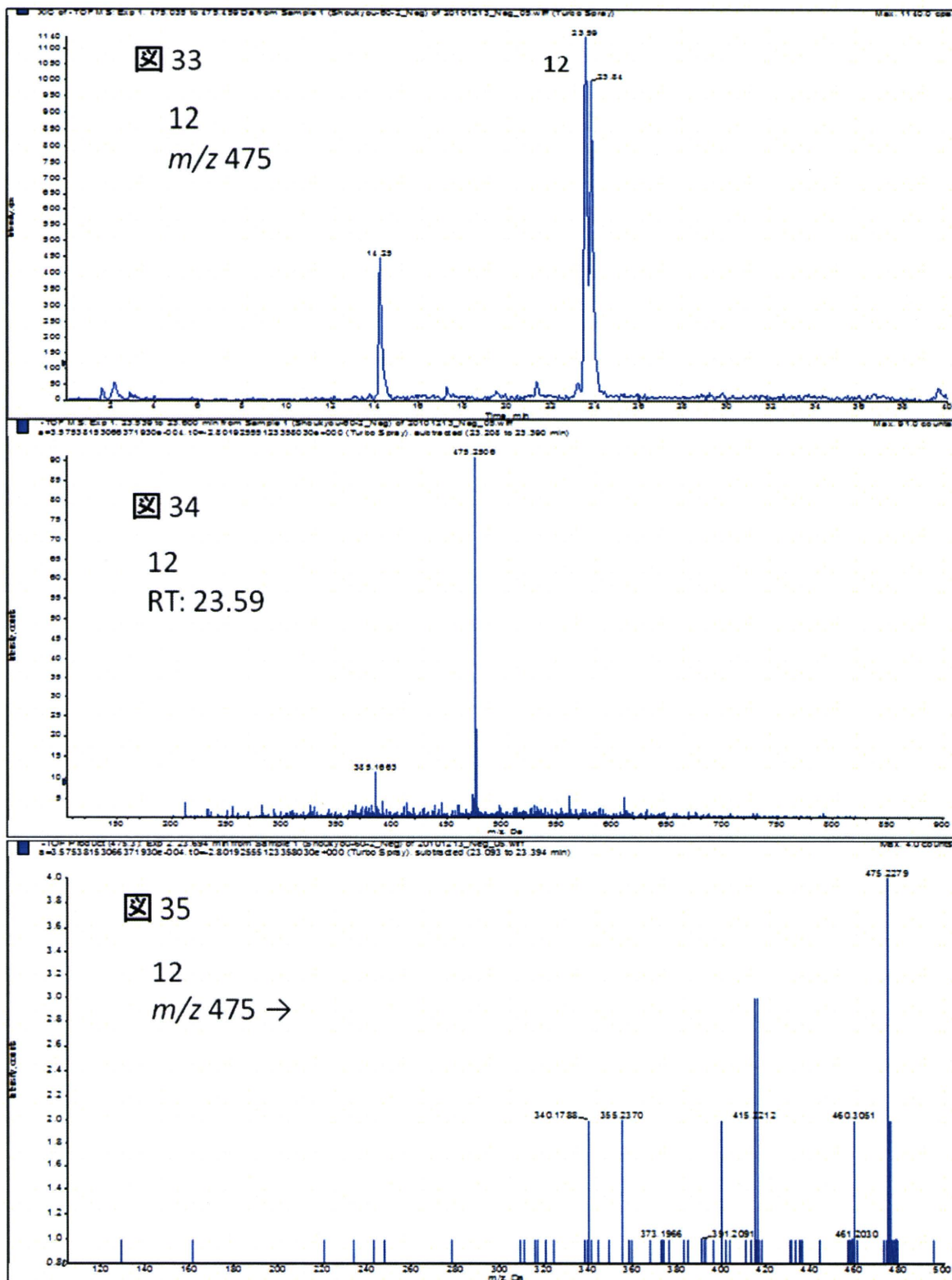


図 3 6 ~ 3 8 ショウキョウ(Negative)  $m/z$  475, 295 の抽出イオンクロマトおよび MS

